

## اشتقاق و اعتبارسنجی توابع انتقالی طیفی نقطه‌ای در گستره VIS-NIR-SWIR به منظور تخمین نگهداشت آب در خاک\*

ابراهیم بابائیان<sup>۱</sup>، مهدی همایی<sup>۲\*</sup> و علی اکبر نوروزی<sup>۳</sup>

(۱) دانشجوی دکتری؛ گروه خاکشناسی؛ دانشگاه تربیت مدرس؛ تهران؛ ایران

(۲) استاد گروه خاکشناسی؛ دانشکده کشاورزی؛ دانشگاه تربیت مدرس؛ تهران؛ ایران؛

نویسنده مسئول مکاتبات: [mhomae@modares.ac.ir](mailto:mhomae@modares.ac.ir)

(۳) استادیار؛ بخش سنجش از دور؛ پژوهشکده حفاظت خاک و آبخیزداری؛ تهران؛ ایران

تاریخ دریافت: ۱۳۹۱/۰۹/۱۳ تاریخ پذیرش: ۱۳۹۱/۱۲/۱۴

### چکیده

توابع پارامترهای مهم برای مدل‌های حفاظت آب و خاک می‌باشند. دلف از انجام این پژوهش، امکان‌سنجی استفاده از اطلاعات طیفی خاک به منظور اشتقاق توابع انتقالی طیفی برای برآورد مقدار نگهداشت آب در خاک بود. از این‌رو، بازتاب ابرطیفی خاک در گستره مرئی، مادون قرمز نزدیک و میانی (۳۵۰-۲۵۰ نانومتر) با استفاده از دستگاه اسپکترورادیومتر اندازه‌گیری و پس از انجام (پیش) پردازش‌های لازم، همیستگی بین باندها با مقدار رطوبت خاک به ازای پتانسیل‌های ماتریک (۱۵۰۰۰-۱۰۰۰۰-۵۰۰۰-۳۰۰۰-۳۳۰۰) سانتی‌متر مورد بررسی قرار گرفت. سپس توابع انتقالی به روش‌های رگرسیون حداقل مربعات جزئی (PLSR) و PLSR توأم با نمونه‌برداری مجدد (Bagging-PLSR) بی‌ریزی و تحت عنوان توابع انتقالی طیفی نقطه‌ای (PSTFs) نامگذاری شدند. نتایج نشان داد توابع انتقالی طیفی توانایی قابل قبولی برای برآورد مقدار نگهداشت آب در خاک دارند. توابع انتقالی طیفی حاصل از روش PLSR دارای دقت نسبتاً بیشتری (RMSE=۰.۰۲۲ cm<sup>3</sup> cm<sup>-3</sup>) در مقایسه با توابع بدست آمده از روش Bagging-PLSR (RMSE=۰.۰۲۹ cm<sup>3</sup> cm<sup>-3</sup>) برای برآورد مقدار رطوبت حجمی خاک در هر یک از پتانسیل‌های ماتریک خاک بودند. از طرفی، در هر دو روش مقدار رطوبت خاک در پتانسیل‌های ماتریک (۱۵۰۰۰-۱۰۰۰۰-۵۰۰۰-۳۰۰۰) با دقت بیشتری نسبت به مقدار رطوبت در پتانسیل‌های ماتریک (۱۰۰۰-۳۳۰۰) با دقت نسبتاً بیشتری نسبت به عناوan یکی از روش‌های غیر مستقیم برای مطالعه وضعیت نگهداشت آب در خاک به ویژه در مکش‌های بالاتر مورد استفاده قرار گیرند.

**واژه‌های کلیدی:** بازتاب طیفی؛ توابع انتقالی طیفی نقطه‌ای؛ نگهداشت آب در خاک

### مقدمه

به منظور مطالعه رفتار و حرکت آب در خاک، انتقال املاح

و آلاینده‌ها، انتقال گرما و جایگایی گازها در خاک مورد استفاده قرار می‌گیرد. یکی از روش‌های غیرمستقیم اندازه‌گیری ویژگی‌های هیدرولیکی خاک، استفاده از توابع انتقالی خاک (PTFs)<sup>۱</sup> است (خداووردی‌لو و همایی، ۱۳۸۱؛

ویژگی‌های هیدرولیکی خاک (منحنی مشخصه رطوبتی و هدایت هیدرولیکی اشباع/غیراشباع خاک) به عنوان مشخصه‌های ورودی مهم بسیاری از مدل‌ها و

\* این مقاله بر گرفته از رساله دکتری گروه خاکشناسی، دانشگاه تربیت مدرس می‌باشد.

<sup>۱</sup> PedoTransfer Functions (PTFs)

استفاده از روش‌های غیر مخرب همچون پرتونگاری، اشعه ایکس و پلاریزاسیون طیفی، استفاده از روش‌های نوین داده‌کاوی از دیگر پیشنهادات آنها می‌باشد.

طبقه‌بندی اخیر، مطالعاتی چند در زمینه استفاده از انعکاس طیفی<sup>۱</sup> خاک در دامنه‌های طیفی مرئی (VIS)، مادون قرمز نزدیک (NIR) و مادون قرمز میانی (SWIR) (طول موج بین ۳۵۰ تا ۲۵۰۰ نانومتر) برای تخمین ویژگی‌های خاک انجام شده است. اما تمرکز این تحقیقات بر مطالعه ویژگی‌های مبنایی خاک نظری توزیع اندازه ذرات، مقدار ماده آلی و هدایت الکتریکی خاک بوده است (Henderson *et al.*, 1989; Ben-Dor and Banin, 1995a; Dunn *et al.*, 2002; Reeves *et al.*, 2002; Stevens *et al.*, 2006; Brown *et al.*, 2006; Lagacherie *et al.*, 2008؛ نوری و همکاران (الف)، ۱۳۹۱؛ نوری و همکاران (ب)، ۱۳۹۱). به طور عمده، بازتاب طیفی خاک متاثر از برهم‌کنش رطوبت، بافت، ساختمان و مقدار ماده آلی خاک با یکدیگر است. خاک شنی نسبت به خاک رسی رطوبت کمتری در خود نگه می‌دارد، بنابراین خاک‌های درشت بافت بازتاب طیفی بالاتری نسبت به خاک‌های ریز بافت دارند. تحقیقات نشان داده با استفاده از بازتاب طیفی خاک در گستره مادون قرمز نزدیک می‌توان مقدار رطوبت وزنی خاک را با دقت مناسب برآورد نمود (Chang *et al.*, 2001؛ Narayanan *et al.*, 1993 و همکاران (۱۹۹۳) مقدار بازتاب طیفی خاک را در رطوبت‌های حجمی و وزنی ظرفیت زراعی و پژمردگی دائم در گستره ۹۰۰–۱۱۰۰ نانومتر مورد بررسی قرار دادند. نتایج آنها نشان داد مقدار رطوبت وزنی خاک با دقت بالاتری در مقایسه با مقدار رطوبت حجمی خاک برآورد می‌شود.

در حال حاضر تنها سه پژوهش در زمینه استفاده از انعکاس طیفی خاک و ارتباط آن با ویژگی‌های هیدرولیکی آن انجام شده است (Thine *et al.*, 2004; Janik *et al.*, 2007؛ Santra *et al.*, 2009 توابع انتقالی طیفی ارائه نگردیده است. Thine و همکاران

قربانی دشتکی و همایی، ۱۳۸۱؛ نوابیان و همکاران، ۱۳۸۲؛ فرخیان و همایی، ۱۳۸۳؛ قربانی دشتکی و همایی، ۱۳۸۴؛ فرخیان و همایی، ۱۳۸۶؛ قربانی دشتکی و همایی، ۱۳۸۷؛ مطلبی و همکاران، ۱۳۸۶؛ مطلبی و همکاران (۱۳۸۹). از جمله مشخصه‌های معمول و پرکاربرد خاک در اشتراق PTFs می‌توان به توزیع اندازه ذرات، مقدار کربن آلی و جرم ویژه ظاهری خاک اشاره نمود (Homae and Farrokhan Firouzi, 2008; Ghorbani-Dashtaki *et al.*, 2009; Zarei *et al.*, 2009; Ghorbani-Dashtaki *et al.*, 2010; Zarei *et al.*, 2010; Khodaverdiloo *et al.*, 2011). اخیراً برخی محققان از متغیرهای توپوگرافی و پوشش گیاهی در ترکیب با مشخصه‌های مبنایی خاک برای توسعه و ارتقای توابع انتقالی خاک استفاده کرده‌اند (Pachepsky *et al.*, 2001; Leij *et al.*, 2004; Sharma *et al.*, 2006 آنجایی که هر متغیر با یک عدم قطعیت ذاتی توازن است، افزایش تعداد پارامترهای ورودی باعث تجمعی عدم قطعیت‌ها و به دنبال آن منجر به کاهش دقت توابع انتقالی می‌شود. اخیراً Vereecken و همکاران (۲۰۱۰) مروری جامع بر نوع متغیرهای ورودی و دقت توابع انتقالی ارائه شده در چند دهه اخیر داشتند. نتایج آنها نشان داده که توابع انتقالی خاک با محدودیت‌هایی همچون؛ وابستگی به نوع و میزان دقت روش‌های اندازه‌گیری متغیرهای ورودی، وابستگی به میزان دقت آزمایشگر، عدم درنظر گرفتن ویژگی‌هایی همچون ساختمان و مینرالوژی رس، وابستگی زمانی توابع به دلیل وجود اثرات فرسایش و شخم، عدم وجود اطلاعات جانبی و تکمیلی در مورد شرایطی که در آن نمونه‌برداری خاک انجام شده و یا وضعیت پوشش گیاهی و سطح زمین، وابسته به مقیاس بودن و عدم وجود پایگاه داده یکنواخت و منسجم در مورد خاک‌های دنیا مواجه است. پیشنهاداتی که این محققان در زمینه توسعه و بهبود دقت توابع انتقالی خاک ارائه داده‌اند شامل ایجاد یک پایگاه جامع و بهروز از داده‌های خاک (ویژگی‌های مبنایی و هیدرولیکی خاک) به طوری که اثرات مقیاس و استفاده از یک روش استاندارد اندازه‌گیری در آن لحاظ شده باشد.

<sup>1</sup> Proximal Spectral Reflectance

حال حاضر، چنین رویکردی برای نخستین بار است که در دنیا مطرح می‌شود.

### مواد و روش‌ها

منطقه مطالعاتی بخشی از حوزه آبخیز سفیدرود و زیر حوزه آبخیز زنجان رود با وسعت ۲۵۳ کیلومتر مربع می‌باشد که در طول جغرافیایی  $48^{\circ} 20'$  و عرض جغرافیایی  $36^{\circ} 55'$  واقع شده است. توزیع بارش در منطقه یکنواخت و متوسط سالانه آن ۳۲۷ میلی‌متر است. رژیم‌های رطوبتی و حرارتی منطقه شامل زریک و مزیک است. تیپ غالب اراضی منطقه شامل فلات و تراس‌های فوقانی ( $13\%$ )، تپه‌های کم ارتفاع ( $30\%$ ) و دشت‌های دامنه‌ای ( $57\%$ ) و کاربری فعلی اراضی شامل کشاورزی آبی ( $32\%$ )، دیم ( $71\%$ ، مرتع ( $25\%$ ) و اراضی متفرقه ( $8\%$ ) است. از نظر بافت خاک، خاک‌های غالب منطقه لومی رسی و لوم بوده و در زیر گروه بزرگ Typic Calcixerpts طبقه‌بندی می‌شوند.

لذا مطابق شکل ۱، تعداد ۲۰۰ نمونه خاک در مقیاس حوزه آبخیز (داده‌های واسنجی) و ۴۰ نمونه در مقیاس مزرعه (داده‌های اعتبارسنجی) از دو عمق خاک ( $0-10$  و  $10-30$  سانتی‌متر) به صورت نمونه‌برداری مرکب در یک ساعت ۱۰ متری جمع آوری و پس از هوا خشک از الک ۲ میلی‌متر عبور داده شد. از آنجا که تنوع بافتی خاک اثر متفاوت و قابل توجهی بر رفتار طیفی خاک دارد مختلف ویژگی‌های هیدرولیکی متفاوتی دارد (Viscarra Rossel *et al.*, 2006) و نیز خاک‌های با بافت مختلف ویژگی‌های هیدرولیکی متفاوتی دارند (Vereecken, 1995) وجود تنوع بافتی خاک دارای اهمیت است. در شکل ۲، تنوع کلاس‌های بافتی خاک‌های منطقه و فراوانی آن‌ها نشان داده شده است.

(۲۰۰۴) با استفاده از روش رگرسیون حداقل مربعات جزئی (PLSR)<sup>۱</sup> و برقراری ارتباط بین ویژگی‌های هیدرولیکی خاک و انعکاس طیفی در ناحیه مادون قرمز خیلی نزدیک (VNIR)، تخریب خاک را مورد بررسی قرار دادند. همچنین Janik و همکاران (۲۰۰۷) با استفاده از انعکاس طیفی خاک در ناحیه مادون قرمز میانی (MIR) و روش PLSR، مقدار رطوبت وزنی خاک را تخمین زده‌اند. به عنوان نوآوری این پژوهش، اگر فرض شود ویژگی‌های هیدرولیکی خاک اثری غیرمستقیم بر رفتار طیفی خاک دارند، می‌توان با مطالعه رفتار طیفی خاک در گستره مسئی تا مادون قرمز، ویژگی‌های هیدرولیکی خاک را مطالعه نمود. بنابراین، مشابه با توابع انتقالی خاک، می‌توان از انعکاس طیفی خاک برای تخمین ویژگی‌های هیدرولیکی خاک استفاده و توابع جدیدی با عنوان توابع انتقالی طیفی (STFs)<sup>۲</sup> تعریف کرد. برای بومی‌سازی این توابع در هر منطقه، نیاز به در اختیار داشتن پایگاه داده وسیع مشتمل بر ویژگی‌های هیدرولیکی خاک و انعکاس طیفی مرتبط با آن‌ها است که اندازه‌گیری‌های طیفی نیز به مراتب آسان‌تر، دقیق‌تر، کم‌هزینه‌تر، غیر مخرب، تکرارپذیر و مشتمل بر یک روش استاندارد اندازه‌گیری است که اثر ساختمان خاک و مینرالوژی رسن‌ها نیز در بازتاب طیفی خاک اعمال گردیده است.

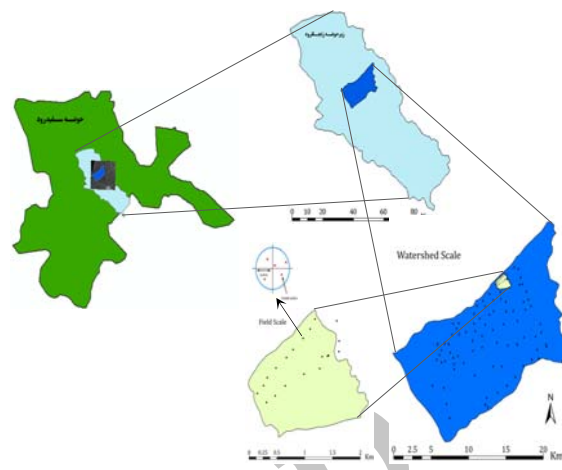
بنابراین هدف از انجام این پژوهش، امکان‌سنجی استفاده از بازتاب طیفی خاک به منظور برآورد مشخصه‌های نگهداشت آب در خاک در پتانسیل‌های ماتریک مختلف و نیز استفاده از روش‌های پیشرفت‌های محاسبات آماری به منظور اشتقاق توابع انتقالی طیفی نقطه‌ای (PSTFs)<sup>۳</sup> بود. برای دستیابی به این هدف و نیز آن‌که توابع اشتقاق یافته بتوانند معرف تمامی کلاس‌های بافتی خاک باشند، منطقه‌ای با اقلیم خشک و نیمه خشک واقع در بخشی از زیرحوزه آبخیز زنجان رود انتخاب گردید. در

<sup>1</sup> Partial Least Square Regression

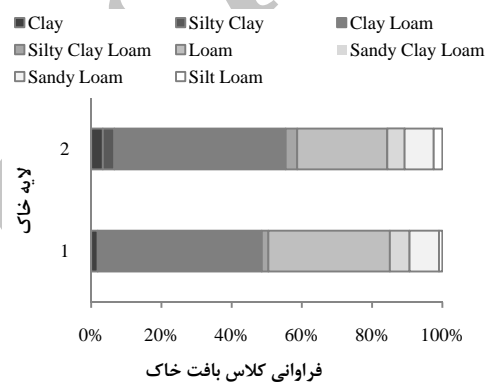
<sup>2</sup> Spectrotansfer Functions

<sup>3</sup> Point SpectroTransfer Functions

دامنه مرئی، مادون قرمز نزدیک و مادون قرمز میانی ۲۵۰۰-۳۵۰۰ نانومتر) با روش‌های استاندارد و در تاریخانه اندازه‌گیری شد. به منظور کاهش خطا حاصل از شرایط محیطی (رطوبت، دما، غبار) در حین طیف‌سنجی، از هر نمونه خاک ۲۵ اسکن تهیه و مجموعاً ۵۰۰۰ منحنی طیفی در مقیاس حوزه آبخیز و ۱۰۰۰ منحنی طیفی در مقیاس مزرعه ثبت و اقدام به ایجاد یک کتابخانه طیفی از خاک‌های منطقه شد. در شکل ۳، میانگین و انحراف معیار تمامی طیف‌های خاک در دو مقیاس مورد مطالعه ترسیم شده است. میانگین منحنی‌های طیفی هر یک از نمونه‌های خاک با نرم افزار ViewSpec® محاسبه و در تجزیه و تحلیل‌ها مورد استفاده قرار گرفت. به دلیل وجود آشفتگی‌های زیاد طیفی<sup>۱</sup> در طول موج‌های ۳۵۰۰-۴۰۰۰، ۲۴۰۰-۲۵۰۰، این محدوده از تمامی طیف‌ها حذف و در مدل‌سازی مورد استفاده قرار نگرفت. همچنین، به منظور حذف هر چه بیشتر این آشفتگی‌ها در طیف‌های خاک (همچون رفتار غیرخطی باندها، نرمال‌سازی طیف‌ها، فیلتر و بارزسازی طیفی) و ارتقای کیفی داده‌ها، از الگوریتم‌های مناسب پیش‌پردازش موجود در برنامه ParLeS ۳.۱ استفاده شد (Viscarra Rossel, 2008).



شکل ۱- موقعیت منطقه مطالعاتی و نقاط نمونه‌برداری خاک در مقیاس مزرعه و حوزه آبخیز

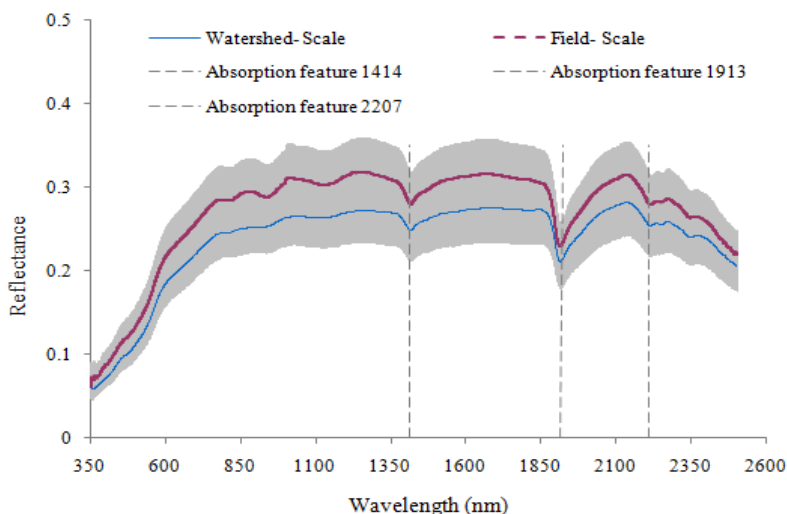


شکل ۲- توزیع فراوانی کلاس‌های بافت خاک در عمق ۰-۱۰ (لایه ۱) و ۱۰-۳۰ (لایه ۲) سانتی‌متر

برخی ویژگی‌های فیزیکی و شیمیایی خاک‌ها با روش‌های استاندارد آزمایشگاهی اندازه‌گیری شد. مقدار نگهداشت آب در خاک نیز به ازای پتانسیل‌های ماتریک مشخص، به کمک دستگاه صفحات فشاری در پتانسیل‌های ماتریک -۳۳۰، -۱۰۰۰، -۳۰۰۰، -۵۰۰۰، -۱۰۰۰۰ و -۱۵۰۰۰ سانتی‌متر اندازه‌گیری شد (Vereecken *et al.*, 2010).

به منظور اندازه‌گیری بازتاب طیفی نمونه‌های خاک، از دستگاه اسپکترورادیومتر زمینی (FieldSpec®3, ASD, FR, USA) استفاده شد. نمونه‌های خاک هوا خشک، از الک ۲ میلی‌متر عبور داده شد و منحنی‌های طیفی آن‌ها در

<sup>1</sup> Noise



شکل ۳- میانگین و انحراف معیار منحنی‌های بازتاب طیفی خاک در دو مقیاس حوزه آبخیز و مزرعه. خطوط قائم باندهای جذبی به دلیل وجود آب هیگروسکوپی و آب موجود در شبکه روسها در طول موج‌های ۱۴۱۴، ۱۹۱۳ و ۲۲۰۷ نانومتر را می‌دهند.

فاکتور مناسب اتخاذ شده، مورد استفاده قرار می‌گیرد  
. (Viscarra Rossel, 2008)

$$b = W(P'W)^{-1} \cdot q \quad (3)$$

$$b_0 = \bar{y} - \bar{x}'b \quad (4)$$

$$\hat{y}_i = b_0 + x_i' \cdot b \quad (5)$$

که در آن،  $x_i$  باند طیفی است.

### روش رگرسیون حداقل مربعات جزئی (PLSR)<sup>۱</sup>

(Bagging-PLSR) نمونه‌برداری مجدد

روش نمونه‌برداری مجدد مورد استفاده در این روش، روش نمونه‌گیری Bootstrap می‌باشد. در این روش به طور تصادفی اقدام به نمونه‌برداری از داده‌ها شده و سپس جایگزینی مجدد داده‌ها از طریق همان داده نمونه‌برداری شده صورت می‌گیرد. اگر سری داده‌های واسنجی به صورت  $(z_1, z_2, \dots, z_n) = Z_N$  در نظر گرفته شود که در آن  $(x_n, y_n) = z_n$  و  $N$  تعداد داده‌ها باشد و نمونه‌برداری از این سری  $B$  مرتبه تکرار شود ( $b = 1, 2, \dots, B$ )، تعداد  $B$  سری داده Bootstrap شده ( $Z_N^{*b}$ ) تشکیل خواهد شد. هر یک از سری‌های حاصل حدود ۶۳٪ داده‌ها را پوشش داده و منجر به ایجاد سری‌هایی همتا و منطبق با تعداد داده‌های اولیه می‌شود. سپس مناسب‌ترین مدل PLSR به هر یک از این

در این روش، متغیر پاسخ<sup>۲</sup> ( $y$ ) به واسطه متغیرهای پنهان به ماتریس متغیرهای تخمینگر<sup>۳</sup> ارتباط داده می‌شود (Martens and Naes, 1989)

$$X = t_1 p'_1 + \dots + t_a p'_a + E \quad (1)$$

$$y = t_1 q_1 + \dots + t_a q_a + f_a$$

که در آن،  $t$  بردار رتبه‌ها<sup>۴</sup> (رابطه ۲)،  $p$  بارگذاری‌های طیفی،  $q$  بارگذاری‌های متغیرهای خاک،  $E$  و  $f$  به ترتیب خطای باقیمانده<sup>۵</sup> متغیرهای تخمینگر و پاسخ حاصل از اثر تخمینی فاکتور  $a$  ام ( $a=1, 2, \dots, A$ ) است.

$$t_a = X_{a-1} \cdot w_a \quad (2)$$

در رابطه ۲،  $w_a$  ضریب وزنی مقیاس‌سازی شده (Faktor مقیاس) است.

ضرایب مدل رگرسیون ( $b$  و  $b_0$ ) به کمک روابط ۳ و ۴ محاسبه و در مدل تخمینگر (رابطه ۵) بر پایه تعداد

<sup>1</sup> Partial Least Square Regression

<sup>2</sup> Response

<sup>3</sup> Predictor

<sup>4</sup> Scores

<sup>5</sup> Spectral Loadings

<sup>6</sup> Residual

$$SD = \sqrt{\frac{\sum_{i=1}^N (y_i - \bar{y})^2}{N-1}} \quad (10)$$

$$MBE = \frac{1}{N} \sum_{i=1}^N (y'_i - y_i) \quad (11)$$

که در آن،  $y'_i$  مقادیر تخمینی،  $y_i$  مقادیر مشاهداتی،  $\bar{y}$  میانگین مشاهدات،  $N$  تعداد داده‌ها و  $m$  تعداد فاکتورهای مدل می‌باشد (نوری و همکاران، ۱۳۹۱ (الف)؛ نوری و همکاران؛ ۱۳۹۱ (ب)).

### نتایج و بحث

#### ویژگی‌های فیزیکی و بازتاب طیفی خاک

بر اساس توزیع کلاس‌های بافتی خاک‌های منطقه، تعداد هشت کلاس بافتی خاک شناسایی شد (جدول ۲). در جدول ۱ نتایج آمار توصیفی اندازه ذرات خاک به همراه سایر ویژگی‌های و نیز مقدار رطوبت خاک به ازای پتانسیل‌های ماتریک ۳۳-۳۳-۱۵۰۰۰-تا-۱۵۰۰۰ سانتیمتر ارائه شده است. همان‌طور که این جدول نشان می‌دهد، افزون بر تغییرات زیاد درصد شن و رس، دامنه جرم ویژه ظاهری و حقیقی خاک نیز وسیع و میانگین آن‌ها برابر  $1/45$  و  $2/75$  گرم بر سانتیمتر مکعب بدست آمد. این تغییرات عمدتاً به دلیل وجود تنوع در تیپ اراضی و شب منطقه است. مقدار متوسط کربن آلی خاک‌ها نیز برابر  $0/64$  درصد اندازه‌گیری شد، که به نظر می‌رسد این مقدار تأثیر چندانی بر رفتار طیفی خاک‌ها نداشته باشد (Viscarra Rossel et al., 2006). تمامی ویژگی‌های خاک از نظر وضعیت نرمال بودن به روش کلموگروف-اسمیرنوف در سطح ۵ درصد مورد آزمون قرار گرفت. داده‌های خاک مربوط به مقیاس حوزه آبخیز به منظور اشتقاء توابع انتقالی طیفی (داده‌های واسنجی مدل) و داده‌های خاک در مقیاس مزرعه به منظور دقت آزمایی توابع (داده‌های اعتبارسنجی مدل) مورد استفاده قرار گرفت.

در شکل ۳ میانگین و گستره تغییرات منحنی‌های بازتاب طیفی خاک در دامنه مرئی (VIS)، مادون قرمز

سری‌های جدید برازش داده شده و مقادیر پیش‌بینی ( $\hat{f}^{*b}(y)$ ) بدست می‌آید. در نهایت با استفاده از رابطه ۶، مقادیر تخمینی متغیر مورد نظر محاسبه می‌شود. در نهایت با استفاده از رابطه ۶، مقادیر تخمینی متغیر مورد نظر محاسبه می‌شود.

$$\hat{f}_{bag}(y) = \frac{1}{B} \sum_{b=1}^N \hat{f}^{*b}(y) \quad (6)$$

بنابراین در این مطالعه، اشتقاء توابع انتقالی طیفی نقطه‌ای به منظور برآورد میزان نگهداشت آب در خاک به ازای پتانسیل‌های ماتریک مشخص، به مبنای دو روش PLSR و Bagging-PLSR انجام گرفت.

#### دقت آزمایی

به منظور ارزیابی دقتم در هر یک از مراحل فرآیند تخمین، از آماره‌های مختلفی استفاده شد. این آماره‌ها شامل ضریب تبیین ( $r^2$ )، ریشه میانگین مربعات خطای (RMSE)<sup>۱</sup> (به منظور انتخاب تعداد مناسب فاکتورها)، نسبت انحراف دقتم (RPD)<sup>۲</sup>، انحراف معیار (SD) و میانگین انحراف خطای Vereecken et al., 2010; Viscarra (MBE)<sup>۳</sup> می‌باشد (Rossel, 2008). بر اساس مطالعات، یکی از متداول‌ترین شاخص‌های ارزیابی دقتم در مطالعات طیفسنجی، Chang et al. 2001; Russell, 2003; Zarei et al., 2009

$$R^2 = 1 - \sum_{i=1}^N (y'_i - y_i)^2 / \sum_{i=1}^N (y'_i - \bar{y})^2 \quad (7)$$

$$RMSE = \sqrt{\frac{1}{N} \sum_{i=1}^N (y_i - y'_i)^2} \quad (8)$$

$$RPD = \frac{SD}{RMSE} \times 100\% \quad (9)$$

<sup>1</sup> Root Mean Square Error Cross Validation

<sup>2</sup> Ratio Performance Deviation

<sup>3</sup> Mean Bias Error

بازتاب طیفی خاک‌ها به شدت کاهش می‌یابد. در حقیقت این طول موج‌ها، طول موج‌های جذبی نام داشته و مربوط به جذب آب بر روی سطوح رس‌ها (طول موج ۱۴۱۴)، پیوندهای H-O-H ملکول‌های آب حبس شده در شبکه رس‌ها (طول موج ۱۹۱۳) و پیوندهای OH با فلزات Al، Fe و Si (طول موج ۲۲۰۷) است (Clark *et al.*, 1990). هر چه مقدار رس خاک بیشتر باشد، عمق باندهای جذبی (فرورفتگی‌ها) بیشتر خواهد بود. وجود چنین باندهای جذبی توسط دیگر پژوهشگران نیز گزارش شده است (Ben dor *et al.*, 1999; Santra *et al.*, 2009).

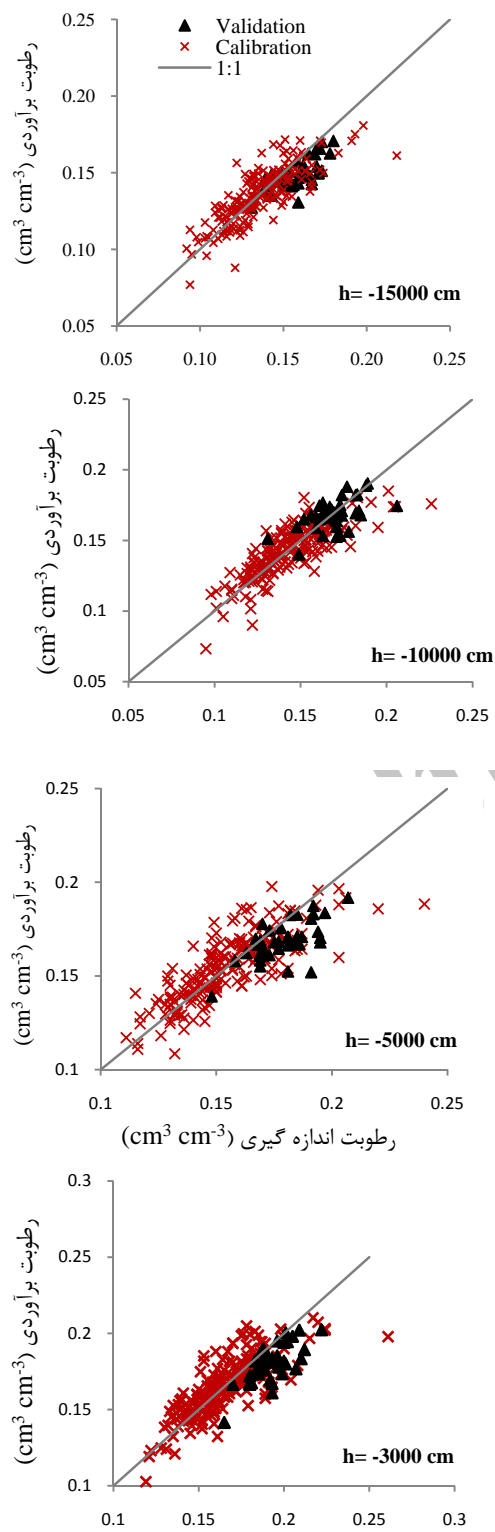
نzedیک (NIR) و مادون قرمز میانی (SWIR) در دو مقیاس مزرعه و حوزه آبخیز ارائه شده است. منحنی میانگین طیف‌های خاک در مقیاس مزرعه بالاتر از منحنی میانگین طیفی در مقیاس حوزه آبخیز قرار گرفته است. این وضعیت می‌تواند به دلیل pH، مقدار ماده آلی و هدایت الکتریکی پایین داده‌های مزرعه نسبت به حوزه آبخیز باشد که باعث افزایش بازتاب در دامنه NIR و SWIR شده است (Santra *et al.*, 2009) و نشان دهنده آن است که ویژگی‌های فیزیکی و شیمیایی خاک اثر متقابل پیچیده‌ای بر رفتار طیفی خاک دارند. بر پایه شکل ۳، با افزایش طول موج از دامنه مرئی، مقدار بازتاب طیفی خاک به تدریج افزایش یافته و حداقل به حدود ۳۵ درصد می‌رسد. از دیگر طرف، در طول موج‌های ۱۹۱۳، ۲۲۰۷ و ۲۰۰۰ نانومتر مقادیر

جدول ۱- آمار توصیفی برخی ویژگی‌های مبنای خاک و مقدار رطوبت حجمی خاک در پتانسیل‌های ماتریک معین مورد استفاده در فرآیند واسنجی و اعتبارسنجی مدل

انحراف معیار	داده‌های اعتبارسنجی مدل			انحراف معیار	داده‌های واسنجی مدل			ویژگی خاک
	حداکثر	حداقل	حداکثر		حداکثر	حداقل	حداکثر	
فرابویی ذرات خاک (%)								
۰/۰۷	۴۸	۱۶	۰/۱۰	۶۳	۱۳			۲۰۰۰ - ۵۰ $\mu\text{m}$
۰/۰۵	۵۰	۲۷	۰/۰۶	۴۵	۱۵			< ۲ $\mu\text{m}$
۰/۱۲	۱/۶	۱/۳	۰/۱۰	۱/۷	۱/۲			(gr cm <sup>-۳</sup> ) $\rho_b$
۰/۰۵	۲/۸	۲/۶	۰/۰۴	۲/۹	۲/۶			(gr cm <sup>-۳</sup> ) $\rho_p$
۰/۰۷	۷/۶	۷/۲	۰/۱۹	۷/۹	۷/۰			(-) pH
۰/۳۳	۲/۱	۰/۴۴	۰/۵۲	۷/۳	۰/۲۴			هدایت الکتریکی (dS.m <sup>-۱</sup> )
۰/۲۳	۱/۸	۰/۰۵	۰/۲۶	۱/۹	۰/۰۶			کربن آلی (%)
۰/۰۲	۰/۳۵	۰/۲۴	۰/۰۲	۰/۳۴	۰/۱۸			(cm <sup>۳</sup> cm <sup>-۳</sup> ) $\theta_{-330 \text{ cm}}$
۰/۰۲	۰/۳۴	۰/۱۹	۰/۰۲	۰/۲۷	۰/۱۴			(cm <sup>۳</sup> cm <sup>-۳</sup> ) $\theta_{-1000 \text{ cm}}$
۰/۰۲	۰/۲۲	۰/۱۶	۰/۰۲	۰/۲۶	۰/۱۲			(cm <sup>۳</sup> cm <sup>-۳</sup> ) $\theta_{-3000 \text{ cm}}$
۰/۰۱	۰/۲۱	۰/۱۵	۰/۰۲	۰/۲۴	۰/۱۱			(cm <sup>۳</sup> cm <sup>-۳</sup> ) $\theta_{-5000 \text{ cm}}$
۰/۰۱	۰/۲۱	۰/۱۳	۰/۰۲	۰/۲۳	۰/۰۹			(cm <sup>۳</sup> cm <sup>-۳</sup> ) $\theta_{-10000 \text{ cm}}$
۰/۰۱	۰/۱۸	۰/۱۳	۰/۰۲	۰/۲۲	۰/۰۹			(cm <sup>۳</sup> cm <sup>-۳</sup> ) $\theta_{-15000 \text{ cm}}$

: جرم ویژه ظاهری خاک،  $\rho_p$ : جرم ویژه حقیقی خاک، pH: واکنش خاک،  $\theta$ : رطوبت حجمی خاک به ازای پتانسیل‌های ماتریک معین

و کمترین دقت در برآورد  $\theta_{-330}$  محاسبه شد. این نتیجه نشان می‌دهد که افزایش تعداد فاکتورهای تخمینگر مدل، لزوماً منجر به افزایش دقت تخمین نمی‌شود (Sharma *et al.*, 2006).



### اشتقاق توابع انتقالی طیفی نقطه‌ای

پیش از واسنجی مدل و اشتقاق توابع طیفی، اثر روش‌های مختلف پیش‌پردازش و تلفیق آنها بر روی نتایج واسنجی مدل مورد بررسی قرار گرفت. بر اساس نتایج آماره‌های ارزیابی، حذف اثرات پخش نور محیط<sup>۱</sup> بر طیف‌ها و جابجایی‌های طیفی به کمک تبدیل SNV توأم با حذف روند به روش موجک<sup>۲</sup> و برای کاهش اثرات تصادفی آشفتگی‌ها و شکستگی‌های طیفی<sup>۳</sup> به منظور افزایش نسبت سیگنال به نویز، از فیلتر موجک<sup>۴</sup> استفاده شد (Viscarra Rossel, 2008).

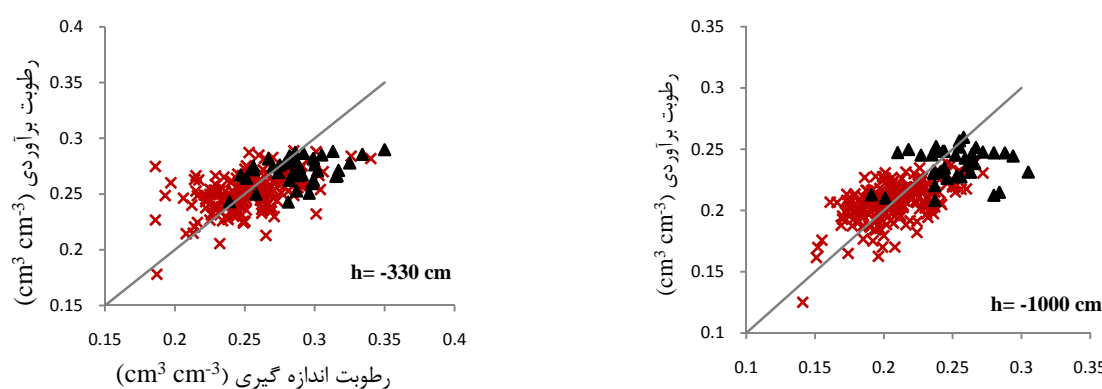
در شکل ۴، نمودار پراکنش مقادیر واسنجی و اعتبارسنجی مدل PLSR در برآورد رطوبت حجمی خاک به ازای پتانسیلهای ماتریک معین ارائه شده است. بر اساس این شکل، داده‌های واسنجی (بهویژه در پتانسیلهای ماتریک -۳۰۰۰، -۵۰۰۰، -۱۰۰۰۰ و -۱۵۰۰۰ سانتیمتر) از توزیع نسبتاً مطلوبی در اطراف خط ۱:۱ بخوردار است. انتخاب تعداد فاکتورهای مناسب روش PLSR برای اشتقاق توابع انتقالی طیفی با استفاده از روش اعتبارسنجی متقابل انجام شد. به طوری که تعداد فاکتورهای بهینه در روش PLSR بین ۷ تا ۱۴ با RMSE بین ۰/۰۲۲ cm<sup>3</sup> cm<sup>-3</sup> - ۰/۰۱۲ بدست آمد. مناسبترین مدل‌های PLSR برای برآورد توابع طیفی نقطه‌ای در پتانسیلهای ماتریک -۱۰۰۰، -۱۵۰۰۰، -۲۰۰۰، -۲۵۰۰۰ و -۳۰۰۰ سانتیمتر به ترتیب دارای ۱۲، ۱۰، ۱۴، ۱۶، ۷ و ۹ فاکتور بود. همچنین بر اساس جدول ۲، به ازای پتانسیلهای ماتریک -۱۵۰۰۰، -۱۰۰۰۰، -۵۰۰۰، -۳۰۰۰ و -۱۰۰۰ سانتیمتر، مقادیر RMSE به ترتیب برابر ۰/۰۱۲، ۰/۰۱۳، ۰/۰۱۲، ۰/۰۱۰ و ۰/۰۱۲ cm<sup>3</sup> cm<sup>-3</sup> بدست آمد. بنابراین بیشترین دقت روش PLSR در برآورد

<sup>1</sup> Light scatter and baseline correction

<sup>2</sup> Standard normal variate (SNV) with Wavelet detrending

<sup>3</sup> Noise and Smoothing

<sup>4</sup> Wavelet filter



شکل ۴- نمودار دقت نتایج واسنجی و اعتبارسنجی مقادیر مختلف رطوبت خاک با ازای پتانسیل های ماتریک معین (h) متوجه روش PLSR

شد. بنابراین بر اساس این شاخص و داده‌های واسنجی می‌توان گفت توابع انتقالی طیفی نقطه‌ای به منظور برآورد رطوبت‌های  $\theta_{-15000}$ ,  $\theta_{-10000}$ ,  $\theta_{-5000}$ ,  $\theta_{-3000}$  از درجه دقت خوب تا متوسط برخوردار است. این نتایج با مطالعات انجام شده توسط Minasny و همکاران (۲۰۰۸) مطابقت دارد.

نتایج مطالعات نشان داده استفاده از روش Bagging-PLSR در بیشتر موارد منجر به افزایش دقت مقادیر تخمینی می‌شود (Breiman, 1996; Viscarra Rossel, 2008). بر اساس جدول ۲، تعداد بهینه فاکتورهای PLSR تخمینگر روش Bagging-PLSR نیز مشابه با روش Bagging-PLSR است. مقدار  $\text{RMSE} (\text{cm}^3 \text{ cm}^{-3})$  در روش Bagging-PLSR به ازای پتانسیل های ماتریک  $-15000$ ,  $-10000$ ,  $-5000$ ,  $-3000$ ,  $-1000$  و  $-330$ - سانتیمتر به ترتیب برابر با  $0.012$ ,  $0.013$ ,  $0.022$ ,  $0.029$ ,  $0.023$  و محاسبه شد. در حالی که مقدار  $\text{RMSE}$  داده‌های اعتبارسنجی مدل نتایج به نسبت بهتری را ارائه نموده است. مقادیر شاخص  $\text{RPD}$  به ازای داده‌های واسنجی در روش Bagging-PLSR نیز مشابه با روش PLSR و بین  $1/20$  -  $0/83$  محاسبه شد. مقدار رطوبت خاک در این روش، به ازای پتانسیل ماتریک  $-15000$ - سانتیمتر با بیشترین دقت ( $\text{RMSE}=0/012$ ,  $r^2=0/64$ ) و در پتانسیل ماتریک  $-1000$ - سانتیمتر با کمترین دقت ( $\text{RMSE}=0/029$ ,  $r^2=0/02$ )

نتایج اعتبارسنجی توابع انتقالی طیفی نقطه‌ای حاصل از روش PLSR نیز نشان داد که پراکنش نقاط در اطراف خط  $1:1$  نسبتاً مناسب است (شکل ۴، مثلث‌های سیاه)، به طوری که مقادیر  $\text{RMSE} (\text{cm}^3 \text{ cm}^{-3})$  به ازای نقاط  $\theta_{-1000}$ ,  $\theta_{-5000}$ ,  $\theta_{-3000}$  و  $\theta_{-330}$  به ترتیب برابر  $0/011$ ,  $0/014$ ,  $0/023$ ,  $0/021$  و  $0/027$  محاسبه شد. مقدار ضریب تبیین ( $r^2$ ) نیز به ازای پتانسیل های ماتریک فوق به ترتیب برابر با  $0/50$ ,  $0/44$ ,  $0/24$ ,  $0/02$  و  $0/16$  بدست آمد (جدول ۲). بر اساس نتایج بدست آمده از داده‌های اعتبارسنجی، روش PLSR در برآورد مقدار رطوبت خاک به ازای تمامی پتانسیل های ماتریک قدری حالت کم برآورد (مقدار MBE بین  $-0/001$  تا  $-0/017$ ) را نشان می‌دهد. بنابراین می‌توان نتیجه گرفت که توابع انتقالی طیفی حاصل از روش PLSR مقدار رطوبت خاک را در دامنه‌های خشک ( $-15000$ -  $-10000$ - سانتیمتر) نسبت به نقاط با رطوبت متوسط و زیاد با دقت بیشتری برآورد می‌کند. بر اساس مطالعات انجام یافته، مقادیر  $2 > \text{RPD} > 1/4$  بیانگر دقت بسیار بالا،  $-2 < \text{RPD} = 1/4$  بیانگر دقت خوب تا متوسط و مقادیر  $< 1/4$  بیانگر دقت ضعیف فرآیند تخمین است (Chang et al. 2001; Russell, 2003). گستره مقادیر شاخص  $\text{RPD}$  به ازای داده‌های واسنجی در روش PLSR بین  $1/13$ -  $1/72$  و به ازای داده‌های اعتبارسنجی بین  $0/86$ -  $0/98$  محاسبه

بازتاب طیفی خاک در گستره مادون قرمز میانی قابلیت چندانی در پیش‌بینی میزان نگهداشت آب در خاک به ازای پتانسیل‌های ماتریک زیاد را ندارد (Tranter *et al.*, 2008). بنابراین بازتاب خاک در رطوبت‌های زیاد، از نظر کمی تنها برآورده از رطوبت خاک را ارائه خواهد داد. مقدار رطوبت حجمی خاک به ازای پتانسیل‌های ماتریک کم (نقشه پژمردگی دائم) عمده‌تاً تحت تأثیر نوع و مقدار رس خاک است. به عبارت دیگر، مقدار رطوبت در پتانسیل‌های ماتریک کم عمده‌تاً تحت تأثیر ویژگی‌های سطوح جذبی رس‌ها است. در مطالعه‌ای Minasny و همکاران (۱۹۹۹) نشان دادند که مقدار رطوبت خاک در پتانسیل ماتریک ۱۵۰۰۰- سانتیمتر توسط PTF هایی که تنها مقدار رس را در نظر می‌گیرند، بهتر برآورد می‌شود. بنابراین در رطوبت‌های کم (۱۵۰۰۰- و ۱۰۰۰۰- سانتی‌متر)، بازتاب طیفی خاک در گستره مادون قرمز میانی برآوردهای بهتری را ارائه کرده است (جدول ۲). در پژوهشی دیگر Chang و همکاران (۲۰۰۱) و Ben-Dor و Banin (۱۹۹۵) مقدار رطوبت وزنی خاک را در مکش‌های ۱۵۰۰۰ و ۳۱۰۰۰ سانتیمتر با دقت بالایی برآورد نمودند، اما از نقطه نظر مدیریت آب در مزرعه، این برآوردها به دلیل آنکه حجم آب ذخیره شده در خاک را ارائه نمی‌کنند، چندان قابل اطمینان نخواهند بود.

برآورد شد (جدول ۲). اگرچه مقدار شاخص RPD به ازای داده‌های واسنجی در هر دو روش مقدار مطلوبی را نشان نمی‌دهد، اما مقادیر RMSE و نیز مقایسه مقدار آن با نتایج دیگر تحقیقات حاکی از دقت مناسب هر دو روش در این تحقیق دارد. در تحقیقی Minasny و همکاران (۲۰۰۸) نشان دادند مقدار رطوبت خاک در پتانسیل ماتریک ۱۵۰۰۰- سانتیمتر با دقت بیشتری ( $RMSE=0.022$ ) و ( $RPD=1.96$ ) در مقایسه با پتانسیل ماتریک ۱۰۰- سانتیمتر ( $RMSE=0.054$ ) برآورد می‌شود.

در شکل ۵، بعنوان مقایسه نتایج دقت‌آزمایی روش‌های PLSR و Bagging-PLSR در برآورد رطوبت خاک به ازای پتانسیل‌های ماتریک معین با استفاده از داده‌های اعتبارسنجی در مقیاس مزرعه ارائه شده است. بر اساس این نتایج، دو روش دقت مناسبی در تمامی پتانسیل‌های ماتریک به جز نقاط  $\theta_{-3000}$  و  $\theta_{-1000}$  دارد (جدول ۲). روش Bagging-PLSR نیز مشابه روش PLSR، در برآورد مقدار رطوبت خاک به ازای تمامی پتانسیل‌های ماتریک حالت کم برآورد (مقدار MBE بین ۰/۰۰۳- تا ۰/۰۱۸-) را نشان می‌دهد (شکل ۵، جدول ۲). مقدار رطوبت حجمی خاک در پتانسیل‌های ماتریک متوسط و زیاد (مانند نقطه ظرفیت زراعی و نقاط نزدیک به اشباع) عمده‌تاً به ساختمان خاک (جرم ویژه ظاهری) بستگی دارد. نتایج برخی مطالعات حاکی از آن است که

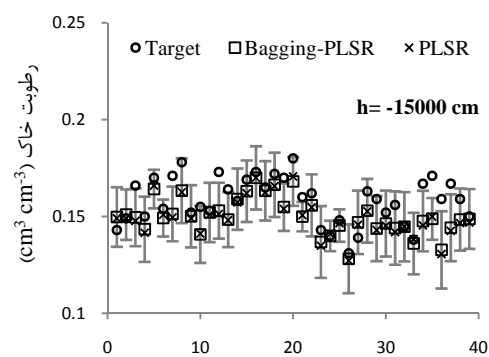
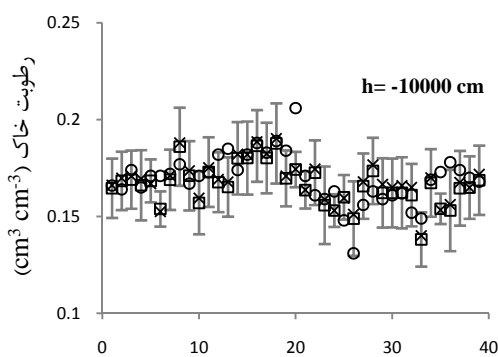
جدول ۲- نتایج آمار توصیفی و دقت‌آزمایی روش‌های PLSR و Bagging-PLSR در اشتغال توابع انتقالی طیفی نقطه‌ای

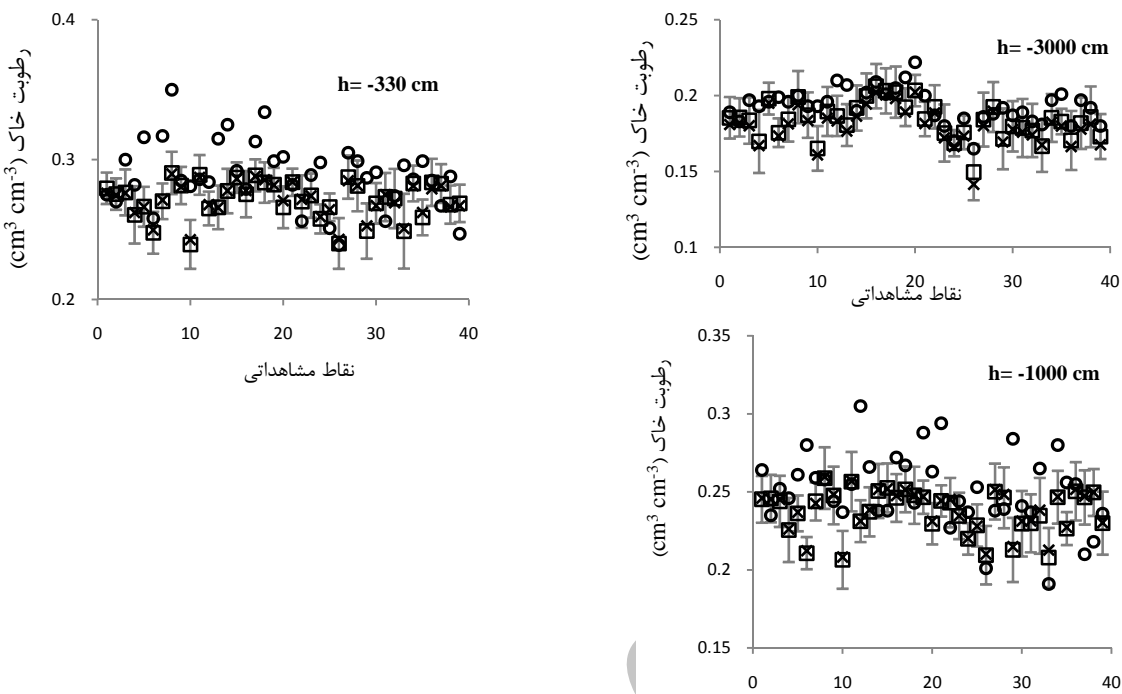
روش اشتغال توابع	تعداد داده	میانگین (cm <sup>3</sup> cm <sup>-3</sup> )	انحراف معیار	تعداد فاکتورها	$r^2$	RMSE (cm <sup>3</sup> cm <sup>-3</sup> )	MBE (cm <sup>3</sup> cm <sup>-3</sup> )	RPD
$\theta_{-15000\ cm}$	۲۰۰	۰/۱۵	۰/۰۱	۱۲	۰/۶۶	۰/۰۱۲		۱/۷۲
$\theta_{-10000\ cm}$	۴۰	۰/۱۶	۰/۰۱	۱۲	۰/۰۵۰	۰/۰۱۲	-۰/۰۰۹	۰/۹۸
Bagging-PLSR <sub>Cal.</sub>	۲۰۰	۰/۱۵	۰/۰۱	۱۲	۰/۷۶	۰/۰۱۲		
Bagging-PLSR <sub>Val.</sub>	۴۰	۰/۱۶	۰/۰۱	۱۲	۰/۰۱۲	۰/۰۱۲	-۰/۰۰۹	
Bagging-PLSR <sub>Cal.</sub>	۴۰	۰/۱۶	۰/۰۱		۰/۰۵۳	۰/۰۱۲	-۰/۰۰۸	۱/۰۴

اشتقاق و اعتبارسنجی توابع انتقالی طیفی نقطه‌ای در گستره VIS-NIR-SWIR به منظور تخمین نگهداشت آب در خاک / ۳۷

$\theta_{-5000 \text{ cm}}$								
۱/۷۰		۰/۰۱۲	۰/۶۵	۱۰	۰/۰۱	۰/۱۶	۲۰۰	PLSR <sub>Cal.</sub>
۱/۱۸	-۰/۰۰۱	۰/۰۱۱	۰/۳۳		۰/۰۱	۰/۱۷	۴۰	PLSR <sub>Val.</sub>
		۰/۰۱۳	۰/۶۳	۱۰	۰/۰۱	۰/۱۶	۲۰۰	Bagging-PLSR <sub>Cal.</sub>
۱/۲۰	-۰/۰۰۳	۰/۰۱۱	۰/۳۷		۰/۰۱	۰/۱۷	۴۰	Bagging-PLSR <sub>Val.</sub>
$\theta_{-3000 \text{ cm}}$								
۱/۶۸		۰/۰۱۲	۰/۶۵	۱۴	۰/۰۱	۰/۱۷	۲۰۰	PLSR <sub>Cal.</sub>
۰/۸۷	-۰/۰۱۰	۰/۰۱۴	۰/۴۴		۰/۰۱	۰/۱۸	۴۰	PLSR <sub>Val.</sub>
		۰/۰۱۳	۰/۶۳	۱۴	۰/۰۱	۰/۱۷	۲۰۰	Bagging-PLSR <sub>Cal.</sub>
۰/۹۷	-۰/۰۰۸	۰/۰۱۲	۰/۴۴		۰/۰۱	۰/۱۸	۴۰	Bagging-PLSR <sub>Val.</sub>
$\theta_{-1000 \text{ cm}}$								
۱/۶۲		۰/۰۱۳	۰/۶۳	۱۴	۰/۰۱	۰/۱۸	۲۰۰	PLSR <sub>Cal.</sub>
۱/۰۵	-۰/۰۱۰	۰/۰۲۳	۰/۲۴		۰/۰۲	۰/۱۹	۴۰	PLSR <sub>Val.</sub>
		۰/۰۲۲	۰/۲۳	۱۴	۰/۰۱	۰/۱۸	۲۰۰	Bagging-PLSR <sub>Cal.</sub>
۱/۱۰	-۰/۰۰۹	۰/۰۱۴	۰/۶۰		۰/۰۲	۰/۱۹	۴۰	Bagging-PLSR <sub>Val.</sub>
$\theta_{-330 \text{ cm}}$								
۱/۱۳		۰/۰۲۰	۰/۳۰	۷	۰/۰۱	۰/۲۴	۲۰۰	PLSR <sub>Cal.</sub>
۰/۸۴	-۰/۰۱۲	۰/۰۲۱	۰/۰۲		۰/۰۲	۰/۲۵	۴۰	PLSR <sub>Val.</sub>
		۰/۰۲۹	۰/۰۲	۷	۰/۰۱	۰/۲۴	۲۰۰	Bagging-PLSR <sub>Cal.</sub>
۰/۸۳	-۰/۰۱۳	۰/۰۲۱	۰/۲۷		۰/۰۲	۰/۲۵	۴۰	Bagging-PLSR <sub>Val.</sub>

اعتبارسنجی و باستجی و Bagging-PLSR<sub>Cal.</sub>، Bagging-PLSR<sub>Val.</sub>، PLSR<sub>Cal.</sub> و PLSR<sub>Val.</sub> مدل Bagging-PLSR و اعتبارسنجی مدل PLSR<sub>Cal.</sub> و باستجی و Bagging-PLSR<sub>Val.</sub> آماره‌های ارزیابی دقت: RPD و MBE و RMSE و R2





شکل ۵- نمودار ارزیابی دقیق نتایج اعتبارسنجی روش‌های PLSR و Bagging-PLSR به ازای پتانسیل‌های ماتریک معین،  $h$ : مقادیر مطلوب، خطوط عمودی  $95\%$  فاصله اطمینان مقادیر تخمینی روشن Bagging-PLSR را نشان می‌دهد)

طرفی، دقیق توابع انتقالی طیفی نقطه‌ای بستگی به ظرفیت نگهداشت آب در خاک به ازای یک پتانسیل ماتریک معین دارد. به عبارتی، توابع انتقالی طیفی مقدار رطوبت خاک را به ازای مکش‌های بالا ( $15000$ - سانتیمتر) با دقیق بیشتری نسبت به مکش‌های پایین ( $-330$ - سانتی‌متر) تخمین می‌زنند.

#### فهرست منابع

- خداوردیلو، ح. و همایی، م. ۱۳۸۱. اشتقاق توابع انتقالی خاک به منظور برآورد منحنی مشخصه رطوبتی. تحقیقات مهندسی کشاورزی، ۱۱: ۴۶-۳۶.
- فرخیان فیروزی، ا. و همایی، م. ۱۳۸۴. ایجاد توابع انتقالی نقطه‌ای برای برآورد منحنی رطوبتی خاک‌های گچی. تحقیقات مهندسی کشاورزی، ۶ (۲۴): ۱۲۹-۱۴۲.
- فرخیان فیروزی، ا. و همایی، م. ۱۳۸۲. برآورد پارامتریک ویژگی‌های هیدرولیکی خاک‌های گچی با استفاده از توابع انتقالی. مجله تحقیقات مهندسی کشاورزی. شماره ۱۵. ص ۵۷-۷۳. کرج، ایران.

#### نتیجه‌گیری

نتایج این مطالعه نشان داد با استفاده از بازتاب طیفی خاک در محدوده  $NIR$ ,  $VIS$  و  $SWIR$  می‌توان وضعیت نگهداشت آب در خاک را مورد مطالعه قرار داد. منحنی‌های طیفی خاک‌های مختلف سه مشخصه جذب در طول موج‌های  $1414$ ,  $1913$  و  $2207$  را نشان دادند که مربوط به مقدار آب موجود در شبکه کانی‌های رسی خاک و رطوبت هیگرسکوپی خاک بوده و می‌تواند به عنوان مشخصه‌های منحصر به‌فرد در هر خاک محسوب شود. این باندها اهمیت زیادی در مطالعه وضعیت نگهداشت آب در خاک دارند. پیش‌پردازش داده‌های طیفی خاک و انتخاب مناسب‌ترین روش پیش‌پردازش، یکی از مهمترین عوامل تأثیرگذار بر دقیق توابع انتقالی طیفی اشتقاق یافته است. بر اساس نتایج بدست آمده، توابع انتقالی طیفی حاصل از روش PLSR نسبت به توابع انتقالی اشتقاق یافته از روش Bagging-PLSR دقیق نسبتاً بالاتری را در برآورد مقدار رطوبت خاک در تمامی پتانسیل‌های ماتریک داشتند. از

- نوایان، م.، لیاقت، ع. و همایی، م. ۱۳۸۲. تخمین هدایت آبی اشیاع با استفاده از توابع انتقالی. *تحقیقات مهندسی کشاورزی*، شماره ۱۶. ص ۱۲-۱. کرج، ایران.
- نوری، م.، همایی، م. و بایبوردی، م. ۱۳۹۱ (الف). ارزیابی پارامتریک توانایی نگهداشت خاک در حضور نفت خام در حالت سه فازی. *حفظاًت منابع آب و خاک*، ۲(۲): ۱۵-۲۴.
- نوری، م.، همایی، م. و بایبوردی، م. ۱۳۹۱ (ب). بررسی پارامتریک ویژگی‌های هیدرولیکی خاک در حضور آلاینده نفت سفید. *حفظاًت منابع آب و خاک*، ۲(۱): ۳۷-۴۸.
- Ben-Dor, E., Irons, J.R. and Epema, G.F. 1999. Soil reflectance. In: Rencz, A.N. (Ed.), *Remote Sensing for Earth Sciences. Manual of Remote Sensing*. John Wiley and Sons, Inc., Toronto, pp. 111-188.
- Ben-Dor, E. and Banin, A. 1995. Near infrared analysis as a rapid method to simultaneously evaluate several soil properties. *Soil Science Society of American Journal*, 59: 364-372.
- Breiman, L. 1996. Bagging predictors. *Machine Learning*, 24 (2): 123-140.
- Brown, D.J., Shepherd K.D., Walsh, M.G., Dewayne Mays, M. and Reinsch, T.G. 2006. Soil characterization with VNIR diffuse reflectance spectroscopy. *Geoderma*, 132: 273-290.
- Chang, C.W., Laird, D.A., Mausbach, M.J. and Hurlburgh, C. R. 2001. Near-infrared reflectance spectroscopy-principal components regression analyses of soil properties. *Soil Science Society of American Journal*, 65: 480-490.
- Clark, R.N., King, T.V.V., Klejwa, M., Swayze, G.A. and Vergo, N. 1990. High spectral resolution reflectance spectroscopy of minerals. *Journal of Geophysical Research*, 95: 12653-12680.
- Dunne, B.W., Beecher, H.G., Batten, G.D. and Ciavarella, S. 2002. The potential of near infrared reflectance spectroscopy for soil analysis: A case study from the Riverine plain of south eastern Australia. *Australian Journal of Experimental Agriculture*, 42 (5): 607-614.
- Ghorbani-Dashtaki, S., Homae, M. and Khodaverdiloo, H. 2010. Derivation and validation of pedotransfer functions for estimating soil water retention curve using a variety of soil data. *Soil Use and Management*, 26(1):68-74.
- Ghorbani-Dashtaki, S., Homae, M. and Mahdian, M.H. 2009. Site Dependence performance of infiltration Models. *Water Resources Management*, 23: 2777-2790.
- Henderson, T.L., Szilagy, A., Baumgardner, M.F., Chen, C.T. and Landgrebe, D.A. 1989. Spectral  
قربانی دشتکی، ش. و همایی، م. ۱۳۸۱. برآورد پارامتریک توابع هیدرولیکی بخش غیر اشیاع خاک با استفاده از توابع انتقالی. *مجله تحقیقات مهندسی کشاورزی*. شماره ۱۲. ص ۱۶-۱. کرج، ایران.
- قربانی دشتکی، ش. و همایی، م. ۱۳۸۳. برآورد منحنی رطوبتی خاک با استفاده از توابع انتقالی. *علوم کشاورزی*، ۴ (۱۰): ۱۵۷-۱۶۶.
- قربانی دشتکی، ش. و م. همایی. ۱۳۸۶. برآورد پارامترهای برخی مدل‌های نفوذ آب به خاک با استفاده از توابع انتقالی. *آبیاری و زهکشی ایران*، ۱ (۱): ۲۱-۳۹.
- مطلوبی، ا.، همایی، م. و پذیراء، ا. ۱۳۸۶. برآورد پارامترهای هیدرولیکی خاکهای رسی با استفاده از توابع انتقالی نقطه‌ای. *علوم کشاورزی*، ۱۳ (۲): ۳۴۹-۳۶۵.
- مطلوبی، ا.، همایی، م.، زارعی ق. و محمودی. ش. ۱۳۸۹. بررسی تاثیر آهک بر ویژگی‌های رطوبتی خاک‌های سری گرمسار با استفاده از توابع انتقالی. *آبیاری و زهکشی ایران*، ۴ (۳): ۴۲۶-۴۳۹.
- band selection for classification of soil organic matter content. *Soil Science Society of American Journal*, 53: 1778-1784.
- Homae, M. and A. Farrokhan Firouzi. 2008. Deriving point and parametric pedotransfer functions of some gypsiferous soils. *Australian Journal of Soil Research*, 46: 219-227.
- Janik, L.J., Merry, R.H., Forrester, S.T., Lanyon, D.M. and Rawson, A. 2007. Rapid prediction of soil water retention using mid infrared spectroscopy. *Soil Science Society of American Journal*, 71:507-514.
- Khodaverdiloo, H., Homae, M., van Genuchten, M.Th. and Ghorbani Dashtaki, S. 2011. Deriving and validating pedotransfer functions for some calcareous soils. *Journal of Hydrology*, 399:356-361.
- Lagacherie, P., Baret, F., Feret, J.B., Madeira Netto, J. and Robbez-Masson, J.M. 2008. Estimation of soil clay and cadmium carbonate using laboratory, field and airborne hyperspectral measurement. *Remote Sensing Environment*, 112(3): 825-835.
- Martens, H. and Naes, T. 1989. Multivariate calibration. John Wiley and Sons, Chichester.
- Leij, F.J., Romano, N., Palladino, M., Schaap, M.G. and Coppola, A. 2004. Topographical attributes to predict soil hydraulic properties along a hillslope

- transect. *Water Resources Research*, 40, doi:10.1029/2002WR001641.
- Minasny, B., McBratney, A.B., Tranter, G. and Murphy, B.W. 2008. Using soil knowledge for the evaluation of mid-infrared diffuse reflectance spectroscopy for predicting soil physical and mechanical properties. *European Journal of Soil Science*, 59: 960–971.
- Minasny, B., McBratney, A.B. and Bristow, K.L. 1999. Comparison of different approaches to the development of pedotransfer functions for water retention curves. *Geoderma*, 93: 225–253.
- Narayanan, R.M., Green, S.E. and Alexander, D.R. 1993. Mid-infrared laser reflectance of moist soils. *Applied Optics*, 32: 6043–6052.
- Pachepsky, Y., Rawls W. J. and Gimenez, D. 2001. Comparison of soil water retention at field and laboratory scales. *Soil Science Society of American Journal*, 65: 460-462.
- Reeves, J., McCarty, G. and Mimmo, T. 2002. The potential of diffuse reflectance spectroscopy for the determination of carbon inventories in soils. *Environmental Pollution*, 116: 277–284.
- Russell, C.A. 2003. Sample preparation and prediction of soil organic matter properties by near infra-red reflectance spectroscopy. *Soil Science and Plant Analysis*, 34: 1557–1572.
- Santra, P. 2009. Delineation and characterization of hydrologically similar zones based on spatial distribution of soil hydraulic properties. PhD Thesis. Indian Institute of Technology, Kharagpur.
- Sharma, S., Mohanty, B.P. and Zhu, J. 2006. Including topography and vegetation attributes for developing pedotransfer functions. *Soil Science Society of American Journal*, 70: 1430-1440.
- Stevens, A., Van Wesemael, B., Vandenshrick, G., Toure, S. and Tychon, B. 2006. Detection of carbon stock changes in agricultural soil using spectroscopic techniques. *Soil Science Society of American Journal*, 70: 844-850.
- Tranter, G., Minasny, B., McBratney, A.B., Rossel, R. and Murphy, B. 2008. Comparing spectral soil inference systems and mid-infrared spectroscopy predictions of soil volumetric moisture retention. *Soil Science Society of America Journal*, 72(5): 1394-1400.
- Thine, C., Shepered, K., Walsh, M., Coe, R. and Okwach, G. 2004. Application of GIS and remote sensing in characterization of soil hydraulic properties for soil physical quality assessment. University of Nairobi, Kenya, pp. 1-18.
- Vereecken, H., Weynants, M., Javaux, M., Pachepsky, Y., Schaap, M.G. and van Genuchten, M.Th. 2010. Using Pedotransfer Functions to Estimate the van Genuchten– Mualem Soil Hydraulic Properties: A Review. *Vadose Zone Journal*, 9: 795-820.
- Vereecken, H. 1995. Estimating the unsaturated hydraulic from theoretical models using simple soil properties. *Geoderma*, 65:81–92.
- Viscarra Rossel, R.A.V. 2008. ParLeS: Software for chemometric analysis of spectroscopic data. *Chemometrics and Intelligent Laboratory Systems*, 90 : 72–83.
- Viscarra Rossel, R.A.V., Walvoort, T.D.J.J., McBratney, A.B., Janikc, L.J. and Skjemstad, J.O. 2006. Visible, near infrared, mid infrared or combined diffuse reflectance spectroscopy for simultaneous assessment of various soil properties. *Geoderma*, 131: 59–75.
- Zarei, Gh., Homae, M. and Liaghat, A.M. 2009. Modeling transient evaporation from descending shallow groundwater table based on Brooks-Corey retention function. *Water Resources Management*, 23(14): 2867-2876.
- Zarei, Gh., Homae, M., Liaghat A.M. and Hoofar, A.H. 2010. A model for soil surface evaporation based on Campbell's retention curve. *Journal of Hydrology*, 380:356-361.



ISSN 2251-7480

## Deriving and validating point spectrotransfer functions in VIS-NIR-SWIR range to estimate soil water retention

Ebrahim Babaeian<sup>1</sup>, Mehdi Homaei<sup>2\*</sup> and Ali Akbar Noroozi<sup>3</sup>

1) PhD Student, Department of Soil Science, Tarbiat Modares University; Tehran, Iran

2) Professor, Department of Soil Science, Tarbiat Modares University; Tehran, Iran

Corresponding author email: [mhomaei@modares.ac.ir](mailto:mhomaei@modares.ac.ir)

3) Assistant Professor, Soil Conservation and Watershed Management Research Institute (SCWMRI), Tehran, Iran

Received: 04-12-2012

Accepted: 05-03-2013

### Abstract

Parametric soil water retention functions are important inputs for soil water conservation models. The objective of this study was to derive some spectrotransfer functions (STFs) to estimate soil water retention functions, using spectral reflectance. Consequently, proximal spectral reflectance of the soil samples within the VIS-NIR and SWIR (400-2500 nm) ranges was measured by using a handheld spectroradiometer apparatus. After (pre)processing the spectral data, the correlation between all wavelengths and soil water contents at matric potentials of -15000, -10000, -5000, -3000, -1000 and -330 cm were determined. Then, the transfer functions in the form of partial least square regression (PLSR) and bootstrap aggregation with PLSR (Bagging-PLSR) were derived. These new transfer functions were called point spectrotransfer functions (PSTFs). Results indicated that the derived PSTFs can well estimate soil water retention characteristics. The derived PLSR-based STFs provided more accuracy ( $RMSE=0.012$  to  $0.022 \text{ cm}^3 \text{ cm}^{-3}$ ) than Bagging-PLSR based STFs ( $RMSE=0.012$  to  $0.029 \text{ cm}^3 \text{ cm}^{-3}$ ) for estimating soil water contents at all designated matric potentials. On the other hands, performance of PSTFs for soil water contents at -15000, -10000 and -5000 cm were more reasonable than that of water contents at -3000, -1000 and -330 cm. It may be then concluded that PSTFs can be used as a reasonable indirect method for estimating soil water retention particularly at high soil water pressure heads.

**Keywords:** point spectrotransfer functions; soil water retention; spectral reflectance